九州大学学術情報リポジトリ Kyushu University Institutional Repository

諸恒常現象間の相関に関する研究(第3報告) : 知 覚恒常性と Luneburg の視空間理論

石井, 克己

https://doi.org/10.15017/2328778

出版情報:哲學年報. 22, pp.347-378, 1960-03-31. 九州大学文学部

バージョン: 権利関係:

諸恒常現象間の相関に関する研究

(第 3 報 告)

---知覚恒常性と Luneburg の視空間理論---

石 井 克 巳

1. 序 言

これまでの報告 $(1\sim7)$ で,諸恒常現象ことに大きさと形の恒常現象間には,有意な相関関係が成立し,しかもその相関の程度は,両現象を規定する条件によってかなり規則的に変化することを報告した。他方 Luneburg の研究(8,9)によれば,われわれの視空間は,物理的空間とはいちぢるしく異なるもので,結局各個人の2つの定数によって解明できるという。したがって,上記の結果も,この理論によってある程度説明できる筈である。今回の報告の目的は,この点にあるので,先ず Luneburg の理論の展開の跡を,上記の論文や,BIank の論文(10,11) に基づいてたどってみよう。

空間知覚の理論は、われわれが物理的空間を観察するとき、実際にどのように"見える"かを精細に記述しなければならない。空間知覚には、非常に多くの因子が作用するので、すべてを一諸に考察すれば、その効果を明らかにすることができないので、限られた個数の因子を分離して、その効果を調べることが望ましい。Luneburgの理論は、両眼視の因子(factor of binocularity)のみを問題にする。したがってその実験は、暗室内で光点を、光度を低くして観察者Oに観察させるのである。このような状況では、両眼視の因子のほかに視力調節(accomodation)の因子も作用するが、これはさほど重要でないことが明らかにされた。また運動の因子が入

ることも問題を複雑にするので、Oの頭部は、固定器で運動を防ぐ. ただし、眼球の運動は自由とする.

Luneburg の理論の目標とするところは、物理的空間と両眼視空間との関係を確立することにある。われわれは物理的空間をあるがままに見ている、と考える人々には、この問題は無用のように思えるであろう。しかし、物差で測った世界と感覚で測った世界とは異なるものであって、われわれはこの区別を忘れがちである。ある色は、ただ色の知覚として感じられ、ある波長の電磁波として感じられるのではない。どの波長の電磁波が、そのような知覚を与えるかが問題である。これと同様なことがらが物理的空間と視空間との間に考えられる。物理的測定と感覚的測定との2方法が確立されると、両眼視空間が非 Euclid 的であるという事実は別にあやしむに足らない。ただ注意すべきことは、多くの観察結果が、Lobatchevski-Bolyai の双曲的幾何学、すなわち負の定曲率の Rieman 幾何学に従うと言う事実である。

2. Luneburg の理論の講造

2.1. 視空間の距離

物理的空間の幾何学的性質を決めるのに物指を使用するように、両眼視空間の幾何学的性質を決めるにも視覚的"物指"を使用する。たとえば、物理的空間に3点 Q_1,Q_2,Q_3 があれば、O はこれらを3点 P_1,P_2,P_3 と知覚し、 P_1,P_2 間の距離は、 P_2,P_3 間の距離よりも大きいと云うであろう。そして前者を単位として、後者が何倍位であるかと言うこともできるであろう。このような見え方の関係は、対応する刺激布置の物理的関係と直接関連をもつことを必要としない。

ある一定の視的距離を単位にとれば、他の視的距離を、少くとも考えの上では、この単位で表わすことができる。このようにして、視空間における任意の2点 P_1 , P_2 間の距離として、ある正の数値 $D(P_1,P_2)$ を割り

当てることができる。他の単位を選んでも同様の函数が見出されるが、それは $D(P_1,P_2)$ にある定数 C を掛けたものに外ならない。

視空間に、まっすぐの感じがあることを、実験的に 示すのは 容易である。 Oは、3点 P_1 , P_2 , P_3 について、 P_3 が P_1 , P_2 と一直線上にあるかどうかを判断することができる。 たとえ、まっ直ぐと感じられても、その刺激布置が必ずしも物理的に一直線をなすとは限らない。 このような一直線をなす感じ (sense of alignment) は、両眼視知覚のもっとも著しい特徴の1つである。 3点 P_1 , P_2 , P_3 の関係は、距離函数を用いて、次の不等式で示される。

$$D(P_1, P_2) + D(P_2, P_3) \ge D(P_1, P_3)$$

この不等式は, P_1 から P_3 へ,ほかの点 P_2 を通って行くのは, P_1 から P_3 へ "まっすぐ" 行くよりも近くはないことを示すのである. そして 3 点が一直線上にあるように見えるのは,上の関係が等しい場合に限る. 物理的にまっすぐであることと,視覚的の まっすぐの 感じとを 区別するために,まっすぐに見える 刺激布置は 視的測地線(visual geodesic)と云う.

以上の考察は,両眼視空間が,**距離空間**(metric space)として数学的に記述できることを暗示する。すなわち,次に示すような条件をみたす,視的距離函数あるいは距離 $D(P_1,P_2)$ の存在を意味する:

$$(A1) D(P, P)=0$$

点のそれ自体からの距離は零である.

(A2)
$$D(P_1,P_2)=D(P_2,P_1)>0, P_1\neq P_2$$

もし P_1 と P_2 が異なる点であれば、両者間の 距離は 正であって、点のとり方の順序には無関係である。

(A3)
$$D(P_1,P_2)+D(P_2,P_3) \ge D(P_1,P_3)$$

すべての点 P_1 , P_2 , P_3 に対して, P_1 から, ほかの点 P_2 を通って P_3 へ行く距離は, P_1 から直接 P_3 への距離よりも近くはない.

このような函数 $D(P_1,P_2)$ が、視的測定の物指となるためには、更に次のような条件を必要とする:

(B1) もし P_1 , P_2 間の距離が、 P_3 , P_4 間のそれよりも大きいと感じられれば、次の関係がなければならない。

$$D(P_1,P_2)>D(P_3,P_4)$$

(B2)点 P_1,P_2,P_3 が一直線上にあると感じられるのは, 次の 関係が成立する場合に限る.

$$D(P_1,P_2)+D(P_2,P_3)=D(P_1,P_3)$$

上述のA, Bの条件をみたす函数 $D(P_1,P_2)$ を両眼視空間の距離 (metric) あるいは精神測定距離函数 (psychometire distance function) と呼ぶ.

2.2. 距離函数の不確定性

2.1に述た条件だけで, $D(P_1,P_2)$ が完全に決定される訳には行かない。なぜならば,それらの条件は,距離函数に任意の正の定数 C を掛けても十分満たされるからである。これは,単位を選ぶことの自由によるもので当然なことである。しかし,次の一般的仮定のもとで,このような不確定性は,ただ1つとなるが考えられる:

(C) 視空間は、コンベックス (とつ) (convex) である.

視空間におけるすべての異なる点の対 P_1, P_2 の間には, P_1 と P_2 を結ぶ線分上に ほかの点 P_3 が存在する.この条件を 距離によって 表わせば,次の方程式を満足する点 P_3 の存在することを意味する.

$$D(P_1, P_3) + D(P_3, P_2) = D(P_1, P_2)$$

(D) 視空間は、コンパクト (compact) である.

視空間における点の無限集合には少くとも1つの集積点 (cluster point) がある。この条件は,無限の点列 P_1 , P_2 , P_3 , \dots , P_1 , \dots について, P_1 な点が存在し,その部分列 P_1 ', P_2 ', P_3 ' \dots に対して,極限に

おいては、 P_j 'はPに接近することを述べている.

すなわち, $\lim_{i\to\infty} D(P, P_i') = 0$

このような1対の条件のもとでは、距離は、一定の正の因子Cをもって 完全に決定されることが証明できる。

コンパクトなコンベックスの距離空間の級(class)は非常に大きいので、 選択の範囲を縮少するために視空間の性質を更に仮定する必要がある. これは、次に述べるように、きわめて簡単にできる.

2.3. 視空間の双曲的性質

経験に一致させて視空間に平面の知覚の存在を仮定することは当を得た ことで、次のように公理として述べることができる:

- (E1) 視空間における3つ組の点は、すべて視的平面に含まれる.
- (E2) 視的平面は,その上の任意の1対の点と共に, それらを結ぶ 視的 測地線を含む.

このような性質を満足する表面をもつ幾何学をDesargues幾何学と呼ぶ。 また経験によれば、小さな範囲では、視空間は Euclid 的で、このこと は次の公理で述べられる:

(F) 視空間の幾何学は,局所的には Euclid 的である.

この(F)の性質は視空間の幾何学が Riemann 幾何学であることを示すもっとも簡単な方法である.

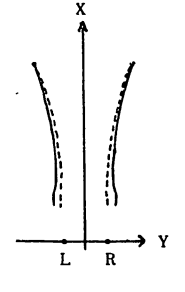
Desargues 的ならびに Riemann 的幾何学が、一定の正、零、および 負の Gauss 曲率をもつ Riemann 空間のいずれか1つに当ることは、驚 くべき事実である.

零の曲率 (k=0) の Riemann 幾何学は、普通の Euclid 幾何学である. 正の定曲率 (k>0) の楕円的幾何学は、2次元の場合は球面幾何学として親しまれている。また負の定曲率 (k<0) の幾何学は Lobatche-vski-Bolyai の双曲的幾何学である.

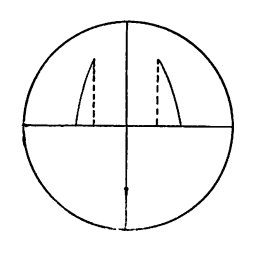
両眼視空間のモデルとして、これら3者の中でどれが適切であるかを見

出すのは困難ではない. これの解答は、今は古典的となった Blumenfeldの並木実験によって求めることができる. この実験では. 〇の正中面の両側に、両眼の水平面上に光点の2列が提示される. 〇から最も遠くにある1対の光点が、正中面に関して対称に固定される. 〇は、固定された光点から自身の方へと、まず"平行並木"(parallel alley)を、次に"距離並木"(distance alley)を作ることが求められる. 前者では光点を正中面に関して対称的に2列に並べ、それぞれがまっすぐで、かつ相互に平行に見えるようにする. 後者では、対をなす光点は正中面に対して対称的であって、その視的距離は、固定した2点間のそれに等しく一定に保たれるようにする.

図〔1〕 距離並木(実線)と 平行並木(点線)



図〔2〕 球面上に表示した距離 並木(点線)と平行並 木(実線)



この実験の典型的な結果が、図(1)に示してある。一般に平行並木は距離並木よりも正中面に対し接近して設定される。このように、等距離と平行の2つの基準が同一の結果を生じないから、視空間の幾何学は Euclid的ではない $(k \neq 0)$.もし楕円的幾何であるとすれば、前述のように2次元では球面上に、等距離表示(isometric representation)をもつことになる。図(2)で左右の方向が赤道で表わされるとすれば、平行並木は、両極を通り赤道に直交する2つの大円上の線分(実線)から成立する。また距離並木は、赤道に垂直な緯度の小円上の線分(点線)から成立する。したがって、楕円的幾

何学によれば、距離並木の方が、平行並木よりも正中面に接近することになり、これは図[1]の実験的結果に反する。それ故に、両眼視空間の幾何学は、楕円的(K>0)ではなく、双曲的(K<0)でなければならない。

2.4. 双曲的距離

図〔3〕 視空間の主観的座標系



図〔3〕に示すように、Luneburg は主観的な座標軸として、前後、左右、および上下の方向をとり、これらの軸に対応する座標を(ξ , η , ζ)とした(これに対して、図〔6〕は客観的な座標軸を示す). 原点 (0,0,0) は、観察者の主観的中心である. 主観的な前額面、正中面、水平面はそれぞれ方程式 ξ =0, η =0, ζ =0 で表わされる. 双曲的幾何学では、視空間の2点を、 $P_1(\xi_1,\eta_1,\zeta_1)$ 、 $P_2(\xi_2,\eta_2,\zeta_2)$ とすれば、この2点間の視的距離 $D(P_1,P_2)$ は次式で与えられる.

Sin
$$h\left[\frac{(-k)^{\frac{1}{2}}}{2} \cdot \frac{D}{C}\right] = \left[\frac{-\frac{K}{4}\{(\xi_1 - \xi_2)^2 + (\eta_1 - \eta_2)^2 + (\zeta_1 - \zeta_2)^2\}}{(1 + \frac{K}{4}\rho_1^2)(1 + \frac{K}{4}\rho_2^2)}\right]^{-\frac{1}{2}}$$
 (1)

定数 C は距離の不確定因子, K は Gauss 曲率である.

この距離は,双曲的空間を Euclid 空間にきわめて簡単に写像できる点で有用であるが,ここでは,主観的極座標 (r, φ, ϑ) を用いる方がいっそう便利である.この座標は前記の座標 (ξ, η, ζ) と次の変換式によって関係づけられる.

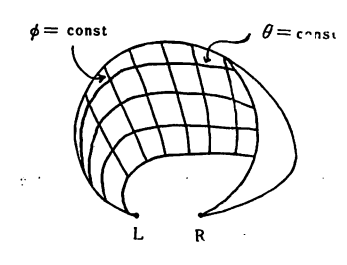
$$\begin{cases} \xi = \rho \cos \varphi & \cos \vartheta \\ \eta = \rho \sin \varphi & (2) \\ \zeta = \rho \cos \varphi & \sin \vartheta \end{cases}$$

また半径座標 r は,次式によって与えられる.

$$\rho = (\xi^2 + \eta^2 + \zeta^2)^{\frac{1}{2}} = \frac{2}{(-k)^{\frac{1}{2}}} \tan h \frac{r}{2}$$
 (3)

C=1 として,距離Dを標準型とすれば, 極座標によって次のように表わされる.

半径座標(radial coordinate) r は,他の主観的な距離との関係で,Oからの主観的な距離を表わす量と考えられる。しかし絶対的距離を示すものではない。r=-定 は,Oから等距離に見える点の軌跡(主観的の球)を表わす方程式である。



図〔4〕 γ =一定 の輪環面上 で ϕ =一定 および θ =一定 の曲線

座標 ϑ は主観的な水平面からの仰角 (angle of elevation) を、また座標 φ は、主観的な正面からの偏差角 (angle of deviation) を表わす。 主観的の球 $\mathbf{r}=-$ 定 上で、 $\vartheta=-$ 定 の曲線は、左右の両極を通る経度の 子午線を表わし、また $\varphi=-$ 定 の曲線は、主観的な正中面に平行な緯度 の円を表わす(図 $\{4\}$).

距離の式(4)から,双曲的平面三角法の定理を簡単に導くことがでさる. 普通の三角法での直角三角形の定理と,対応する性質が双曲的空間でも認 められる.

C=90° とする直角三角形の角をA,B,Cとし,これに対する辺をそれぞれa,b,cとすれば,Pythagorasの定理に対応する定理は,

また角の函数は、次のように与えられる.

$$sinA = sinha/sinhc$$
 (6)

$$\cos A = \tanh b / \tanh c$$
 (7)

$$tanA = tanha/sinhb$$
 (8)

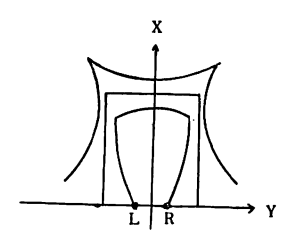
小さな三角形では、これらの定理が、Euclid 幾何学の定理に 接近することが見られよう. これが、公理 (F) に示されたことがらである.

視空間の性質が決定され、またその距離が明白に表示されても、問題はまだ半分解決されたに過ぎない。なぜならば、視的座標 $(\xi,\eta,\zeta;r,\varphi,\vartheta)$ と物理的座標 $(x,y,z;\gamma,\varphi,\theta)$ との関係を決定する重要な問題が残っているからである。この問題を次節において考察しよう。

3. 視的空間と物理的空間の関係

両眼視知覚では,異なる刺激布置から,同じ効果を生ずることがある. この適例は,A. Ames が Dartmouth Eye Institute で組み立てた歪

図 [5] Ames の歪んだ室



んだ室 (distorted room) である。これは、図[5]に示すように、その壁が曲面となっているが、矩形の室のように知覚されるのである。

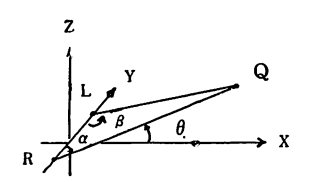
Luneburg は、このような事実を説明するのに2つの可能な仮設を見出した。その第1の仮説は、歪んだ室が、両眼視では、等価な手がかりを与えると言うことである。すなわち、一方の室について、1つの点から他の点へと凝視するときの綱膜像の系列が、他方の室についてのそれと等しいと言うのである。第2の仮説は、歪んだ室が、双曲的視空間の翻訳的変位(translatory displacement)によって、矩形の室に関係づけられると考えるのである。

Luneburg は、別に実験的の裏付けなしに、この前者を少しく変形して 用いた.しかし、最近になって、実験的研究の結果、もう一方の方法が正 しいことが明らかにされた.

3.1. 両極座標

物理的空間に おける点 Q の 位置は、特別な 角座標 (angular coordinates) によって決定され、これらの座標が 両眼視空間に おける点Pの知 覚に対して本質的に重要であることがわかるであろう.

図〔6〕 物理的点の両極座標



物理的空間の状況は、両眼の位置を水平面上の2点と定めることによっていく分理想化することができる。図[6]で、R,Lをそれぞれ右,左の眼の位置とし、Qを両眼によって見られる点とする。線分 RQ, LQ は視線 (line of sight) と呼び,これらの視線と 基線 (bace segment) RLとのなす角をそれぞれ α , β とすれば,点 Qは次の3つの 両極 要標によって決定される:

両極視差 (bipolar parallax) γ, 両視線のなす輻輳角 (angle of convergance),

両極緯度 (bipolar latitude) φ,正中面に対して,時計の針の進行方向 と逆の方向に測った両視線の平均方向,

$$\phi = \frac{1}{2} (\beta - \alpha) \tag{9b}$$

仰角(高低角) (angle of elevation) θ , 平面 RQL が水平面となす角. このような座標を用いると、上述の歪んだ等価の室の現象は、数学的に みごとに説明できる.

3.2. 等価布置. 等像座標

Luneburg は,等価の室の構造が,Oに対して等しい両眼視的手がかりを与えるとの仮説から出発した.すなわち,2 組の室の刺激は,その1 点から他の点へとながめるとき,綱膜像の系列が等しいものと仮定すれば,両者の 関係は きわめて簡単に 記述できる.いま一方の室の点の 両極座標 γ' , ϕ' , θ' は, これと 関連する他方の室の点 γ , ϕ , θ と次の 等像変換 (iseikonic transformation) によって関係づけられる.

$$\gamma' = \gamma + \lambda, \quad \phi' = \phi + \mu, \quad \theta' = \theta + \nu$$
 (10a)

ここで λ,μ,ν は定数で,とくに Ames の室は, 次のような 特別な変換 を用いて組み立てられている.

$$\gamma' = \gamma + \lambda, \ \phi' = \phi, \ \theta' = \theta$$
 (10b)

この変換を導いた仮説については、別に考察しないでもよい。ただここでは、この変換の妥当性が、少なくとも 2 次元、 $\theta=0$ の場合に実験によって確められたことを知れば十分である。

刺激布置内の 諸点間の, 両眼視的距離関係は 等像変換によって 変化しないから,視的座標を,直接に両極座標 (Υ, ϕ, θ) によって表わすよりも,等像変換のもとで不変であるような座標で表わす方が便利である. こ

のために刺激布置の中で、ある点 $Q_{\mathfrak{o}}(\gamma_{\mathfrak{o}},\phi_{\mathfrak{o}},\theta_{\mathfrak{o}})$ を選び、他の任意の点 $Q(\gamma,\phi,\theta)$ を次のように表わす。

$$\Gamma = \gamma - \gamma_0, \quad \Phi = \phi - \phi_0, \quad \Theta = \theta - \theta_0$$
 (11)

これらの3つの値、 Γ , Φ , Θ は、Qの等像座標(iseikonic coordinates) と呼び、等像変換のもとでは不変である。

 $Q_o(\gamma_o,\phi_o,\theta_o)$ は任意に選んでもよいが,後で述べる理由から, その 布置の中で γ_o の値が最小であるような点を選ぶべきである.したがって, 輻輳角が最小となる点に対しては, $\Gamma=0$ となり, 輻輳角 のより大きな点 に対しては, $\Gamma>0$ となる.

3.3. 視的定位と方向知覚

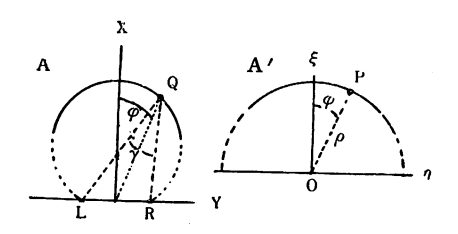
通常Oは、前述の主観的前額面、正中面、水平面は、客観的な物理的世界の重要な平面と対応しているものと考えている。しかし、たとえば、飛行機や汽船などに乗って運動している場合には、事情は一変して、必しも両者は一致しないが、主要な視的平面と物理的平面との正しい対応(coordination)が、可能であると考える。

物理的な2点 Q_1,Q_2 は,両者が等しい角座標 ϕ,θ を持つ時に限って Oは,同一方向にある2点 P_1,P_2 として知覚する.したがって物理的空間において, $\theta=-$ 定、 $\phi=-$ 定である 双曲線は,視空間においては, $\theta=-$ 定、 $\phi=-$ 定である直線として知覚される.

その上、物理的座標 ϕ , θ における等しい変化は、視的座標 φ , θ においても等しい変化として 知覚される。主要な 平面の 主観的位置づけが、物理的のそれと一致するものとすれば、 $\varphi=\phi$, $\theta=\theta$ とおいても よいであろう。一般に等像的変換を考慮すれば、1 点から他の点をながめる際の φ , θ における変化は、それぞれ φ , θ における変化に等しいであろう。

3.4. 半径距離の知覚

図〔7〕 A:物理的空間の両極座標 (VM円) A': 視空間の極座標



視的方向と物理的座標との関係がわかったから、次の問題は、視的半径 Γ と物理的 Σ を Σ あるいは Γ との関係 Γ との関係 Γ を Σ 験的に決定することである. 実験により、水平面 δ =0 上において、 Σ を 中心として等距離に 見える点の 軌跡は、ほとんど Σ VM 円 Σ =一定 に近いことがわかった。水平面上には、両眼の中心 Σ R, Σ を 運る、このような円の族がある。図〔7〕に示すように、 Σ の Σ を 距離に見える点の軌跡 (主観的の円) は、物理的には Σ を Σ を Σ VM 円である。

LR を軸として、VM 円を回転して生じた表面 $\gamma=-定$ は、VM 輪環面 (Vieth-Müller torus) と呼ばれる。上記にの実験から、VM 輪環面は、Oを中心とした球に見えると考えられよう。すなわち、物理的空間における輪環面 $\gamma=-定$ は、視空間においては球 r=-定 として知覚される。

3.5. 視的座標の方程式

前節 3.3. の結果から、次のように表わされる.

$$\varphi = \Phi, \ \vartheta = \Theta$$
 (12a)

ここで φ , ϑ は、視的角座標、また Φ , Θ は、 (11) の等像座標である. 前述のように、 Φ , Θ は任意の パラメーター ϕ 。 θ 。に依存している. しかし、どのような θ 。が選ばれても、さしつかえない. もちろん、 θ 。が変化すれば、 ϑ の値は一定の値だけ変化する. このような変換は、双曲的

視空間の単純な回転である。 同様に、もし $\theta=0$ の 2 次元的部分空間のみを考えるならば、 ϕ 。の変化は単にこの空間の回転を生ずる。

しかし 3.4. の結果を考えると、事情は少し変ってくる.実験によれば、その型ははっきりしないが、視的半径 r は、 Γ の函数である.

$$\mathbf{r} = \mathbf{r}(\Gamma) \tag{12b}$$

したがって、 \mathbf{r}_0 の値を自由に 変えてよいと 言うのは真実ではない. なぜならば、半径座標 \mathbf{r} だけは、双曲的空間に おいて、不変変換(rigid transformation)ができないからである. すなわち、(12b) のような関係が妥当であれば、 \mathbf{r}_0 の変化は、公式(4)によって記述される距離関係の変化をもたらす。それ故(12b)のような関係を保っためには、 \mathbf{r}_0 の値は、任意に決めるべきではなく、刺激布置から 必然的に 決定し なければならない。

ところが r_0 の値は、Oに提示される刺激布置にきわめて複雑な仕方で関連する可能性がある。しかし、半径座標 r を決定する実験は、当面の刺激布置に対して r の最小値をもった点(最遠の点)には、布置に無関係に、いつも同一の半径座標 ω を割り当てなければならないことを明らかにした。換言すれば、O から最も離れていると感じられる点は、その刺激布置がどのようであっても、Oの中心からいつも同一な一定の双曲的距離 ω のところにあると感じられる。このように視空間は境界づけられ、どのような刺激状況においても、最大の視的距離をもつ点は、丁度この境界(boundary)上にあると感じられる。このような結果は、われわれの視空間において、無限遠とか無限大の観念に対応するものはないと言う観察や実験の上の事実と一致する。たとえば、頭上の天空は、限られた広がりをもった丸天井であり、太陽は、貨弊の大きさに比較されるほどの円板と知覚される。

どのような刺激状況においても、 r。の値は、 Oの両眼に入るすべての

点の γ の値の中で、最小値とすべきである。したがって、 Γ は最遠と感じられた点については零であり($\Gamma=\gamma-\gamma_0$ 、 $\gamma=\gamma_0$ 、 $\therefore \Gamma=0$)、より近くにあると感じられた点についたは正である($\gamma>\gamma_0$ 、 $\therefore \Gamma>0$)。

ここで、視的座標 $(\mathbf{r}, \varphi, \vartheta)$ と物理的座標との関係をまとめてみれば、

$$\mathbf{r} = \mathbf{r}(\Gamma) \quad \varphi = \Phi \quad \vartheta = \Theta \tag{13a}$$

ここで Γ , Φ , Θ , と両極座標 (γ, ϕ, θ) との関係は,

$$\Gamma = \gamma - \gamma_0, \quad \Phi = \phi - \phi_0, \quad \Theta = \theta - \theta_0$$
 (13b)

ただし、 ϕ 。と θ 。は任意に、 γ 。は上述のように 布置の 中で最遠の点に ついて決定した値である.

(13a) について,重要な事実は,特定のOについて, その視空間の特性を知ろうとするならば,ただ函数 $r(\Gamma)$ を決定 すれば よいと 言うことである.実際, $r(\Gamma)$ を,限られた 個数のパラメーターを用いて表わすことができる. すなわち,個人の視空間を少数の特性定数で記述することができる. $r(\Gamma)$ は,異なるOに対して, 必ずしも 等しいことを要しない.

一方この点に関して、 われわれの 平均的行動は 何も知られて いないので、この方面の研究はきわめて重要である.

Luneburg は,この半径座標 r は,両眼視差 γ の函数だと仮定した.しかし,上述の観点からすれば,これは当面のすべての布置が, γ 。の等しい値を持つと限定された特別の場合についてのみ妥当である.日常生活では, γ 。の値は,きわめて零に近いので,この 2 つの考 [Luneburg, $r=f(\gamma)$; Blank, $r=r(\Gamma)$] の差は,通常余り大きな食い違いを生じない.上述の理論に基づいて,特定のQ0の視空間を完全に特性づける,Q0、決定することは可能である.では,この函数をどのように決定するかの問題を次に考察しよう.

4. 函数 r (Γ), および定数 σ, K の実験的決定

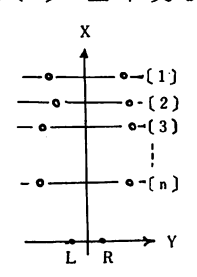
これまで論じたことによって、結局 Luneburg の理論は、 函数 $\mathbf{r}(\Gamma)$

の決定を必要とするものである。またこれに関連して定数 σ , k の決定も必要である。以下水平面 $\theta=0$ 上で、これらを決定する 2 つの実験的方法について述べよう。

4.1. Blumenfeld の並木実験

前述のように、Blumenfeld の実験は、視空間の双曲的性質を証明したが、これはまた、函数 $\mathbf{r}(\Gamma)$ の測定にも利用できる.

図〔8〕 並木実験



図〔8〕に示すように,との実験では,暗室内で 水平面上に n 個の光点を,正中面の両側にそれぞれ提示する.左,右の光点を Q_1^L および Q_1^R (i=1,2,3.....,n) で表わす.対をなす光点, Q_1^L , Q_1^R は,前額平 行面上 i の位置に提示される以外は制限を設けないが,最遠 i=1 での 2 光点は,正中面に関して対称の位置に固定する.

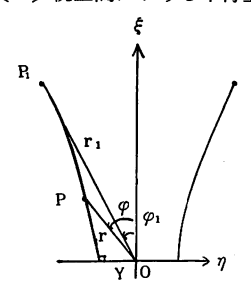
並木の調整には、平行並木と距離並木の2つの場合があって、それぞれ 教示を異にする。平行並木では、最遠の1対の光点は固定しておいて、光 点の2列を、それぞれまっすぐに相互に平行で、その上正中面にも平行に 並べるように教示する。距離並木では、最遠の固定した光点、および調整 しようとする位置iの1対の光点以外は消して、近い方の1対の光点を、 その距離が、遠方の1対のそれと等しく見え、その上対称的に並べるよう に教示する。この教示に従って調整を完了したとき、すべての光点をOに 見せれば、光点の2列はそれぞれまっすぐでも、また平行であるようにも 見えないであろう。図[1]で見たように、これらの教示のもとで得られた結果は、一般に平行並木は、距離並木より内側に位置を占める。この実験での等像座標は、次のようになる。

$$\Gamma = \gamma - \gamma_1, \quad \Phi = \phi$$
 (14)

ここで γ_i は、i=1 における固定点の両極視差である.

4.1.1. 平 行 並 木

図〔9〕視空間における平行並木



平行並木は,図〔9〕に示すように,視空間においては,主観的正中面に関して対称で,前額面に直交する視的測地線である.いまYで,との交点の主観的中心 O からの双曲的距離(hyperbolic distance)を表わし,また左側の並木上の動点を P (r, \mathcal{P}) で表わせば,(7) によって次の関係が与えられる.

$$\cos\left(\frac{\pi}{2} - \varphi\right) = \tanh Y / \tanh Y$$

ここで, $\cos\left(\frac{\pi}{2} - \varphi\right) = \sin\varphi$ であるから,

$$tanhY = tanhr sin \mathcal{P}$$
 (15a)

同様に、固定点 $P_1(\gamma_1, \varphi_1)$ について、

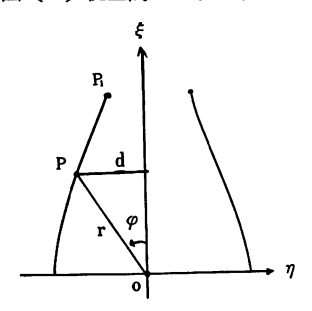
$$tanhY = tanh\omega \sin \varphi_1$$
 (15b)

ここで $\omega = r(0) = r_1$ である. (15a), (15b) により、視空間における平行 並木のの方程式は、次のように与えられる.

$$tanhr \sin \varphi = \pm tanh\omega \sin \varphi_1 \tag{16}$$

4.1.2. 距離並木

図〔10〕視空間における距離並木



一方,距離並木は,図〔10〕に示すように,正中面から一定の視的距離 d にある点Pの軌跡である.いま 左側の 動点を $P(r, \varphi)$ とすれば,(6)によって,

 $\sin \varphi = \sinh d/\sinh r$

したがって、sinhd=sinhr sinの

(17a)

同様に、固定点 $P_1(r_1, \varphi_1)$ については、

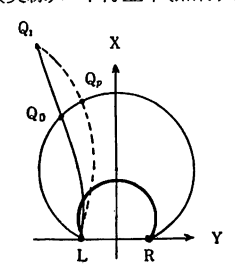
$$sinhd = sinh\omega sin \mathcal{P}_1$$

(17b)

したがって, (17a), (17b) により, 視空間における 距離並木の方程式は 次のように与えられる.

$$\sinh r \sin \varphi = \pm \sinh \omega \sin \varphi_1 \tag{18}$$

図[11] 距離並木(実線),平行並木(点線)とVM円との交点



次に,図〔11〕に示すように,左側の平行並木,および距離並木が VM 円と 交わる 点を $Q_r(\Gamma_0,\phi_r)$,および $Q_0(\Gamma_0,\phi_0)$ とする. この 2 点

は,同じ座標 Γ 。を有すから,その視的半径 Γ 。も等しい.これらの交点の座標を,それぞれ平行並木の方程式 (16) と距離並木の方程式 (18) に代入して,

 $\tanh r_0 \sin \phi_P = \tanh \omega \sin \phi_1$ $\sinh r_0 \sin \phi_D = \sinh \omega \sin \phi_1$

との2つの方程式から r。を消去すれば,

$$\cosh^{2}\omega = \frac{\sin^{2}\phi_{D} - \sin^{2}\phi_{1}}{\sin^{2}\phi_{P} - \sin^{2}\phi_{1}}$$
(19)

この公式によって,特定のOに対する ω の値を決定することが できる. このように して ω ,すなわち,函数 $r=r(\Gamma)$ の $\Gamma=0$ のときの値 r(0) がきまれば,上述の(16) あるいは,(18) によって種々の φ ,したがって 種々の Γ に対する r の値を求めることができる.

Luneburg の理論に、函数 $r=r(\Gamma)$ を導入したのは、主として Blank であるが、Luneburg 自身は、視的半径 r の代りに ρ を用い、この ρ は 次に示すような、輻輳角 γ の函数であると仮定する.

$$\rho = 2e^{-\sigma \gamma} \tag{20}$$

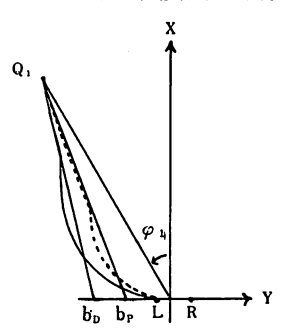
ここで、e は自然対数の底、 σ は Oについての 定数で、 奥行知覚の程度 (degree of depth perception) を示し、この値の大きいほどその精度が $*^2$ たかい

Zajaczkowska (13) は,並木実験を用いて,この定数 σ ,および k を 測定した. k も O についての定数で,視空間の曲率を示す.その方法は, 図 [12] に示すように,O に,共通の出発点 Q_1 をもった平行並木,および距離並木を作らせることである. Q_1 において,この 2 つの並木(曲線)

^{*1} ρ と r の関係は(3)で示されるが,r=2arc $tanh\left[\frac{(-k)^{\frac{1}{2}}}{2}\rho\right]$ としてもよい.また(20)により, $\gamma=-$ 定ならば $\rho=-$ 定となるから, $\gamma=-$ 定なる点の軌跡((VM円)は,(VM円)は かかり でかり であるが、(VM円)は かり でかり であるが、(VM円)は かり でかり であるが、(VM円)は かり でかり であるが、(VM円)は かり であるが、(VM円)は かり であるが、(VM円)は かり でかり であるが、(VM円)は かり であるが、(VM0)は かり であるが、(VM0)は

^{*2} なぜなら $\frac{d\rho}{d\alpha} = 2e^{-\sigma\gamma}(-\sigma) = -\sigma\rho$ となるからである.

図〔12〕共通点における距離並木(実線)と平行並木(点線)の接線



に引いた接線のY切片 b_P , b_D を図上で 求めると, σ , k の値は 次の公式 によって計算できる.

$$\sigma = \frac{1}{\operatorname{pd} \tan \varphi} \left(b_{P} \ b_{D} \right)^{\frac{1}{2}} \tag{21}$$

$$k = e^{2\sigma\gamma_1} \frac{\left[\frac{b_P}{b_D}\right]^{\frac{1}{2}} - 1}{\left[\frac{b_P}{b_D}\right]^{\frac{1}{2}} + 1}$$
(22)

ここで pd は, Oの瞳孔間の距離 (interpupillary distance) である.

定数 σ ,k を測定する方法はこのほかいろいろあるが、次に 2 つの VM 円を用いる方法について述べよう.

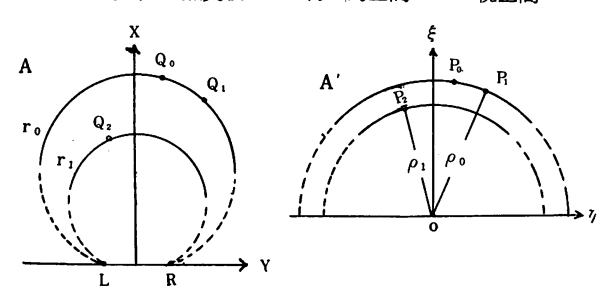
4.2. Luneburg の VM 円の実験

この実験は、Luneburg (9)によって考案されたもので、Oはただ視的大きさを等しくすればよいと言う点で興味がある。これには、次に述べるように3点法 (3-point experiment) と4点法 (4-point experiment) とがあるが、この実験の結果は、視空間が双曲的性質を有することを一様に示した*

^{*} Zajaczkowska (12) は、80名のOにこの実験を行なって一様に K<O なる 結果を得た。

4.2.1. 3点実験

図〔13〕 8 点実験: A-物理的空間, A'-視空間



この実験では,図〔13〕のAに示すように 3 光点 Q_0 , Q_1 , Q_2 が提示される. Q_0 と Q_1 は,視差が γ_0 である VM 円上を動き, Q_2 は,視差が γ_1 である VM 円上を動く.Oがこれを観察するときは,図〔13〕の A' に示すように, Q_0 , Q_1 は半径 $\rho_0=2e^{-\sigma\gamma_0}$ なる円周上の P_0 , P_1 にまた Q_2 は半径 $\rho_1=2e^{-\sigma\gamma_1}$ なる円周上の P_2 にあるように知覚される.Oは,固定した2 点 Q_0 , Q_1 に対して, $D(P_0,P_1)=D(P_0,P_2)$ になるように Q_2 の位置を調整する.このような測定を, (Q_0,Q_1) の種々な距離について行なう.このように調整された場合は,(1)から次の関係が立する.

$$\frac{\left\{2\rho_{0}^{2}\left(1-\cos(\phi_{1}-\phi_{0})\right)\right\}^{\frac{1}{2}}}{1+\frac{k}{4}\rho_{0}^{2}} = \frac{\left[\rho_{0}^{2}+\rho_{1}^{2}-2\rho_{0}\rho_{1}\cos(\phi_{2}-\phi_{0})\right]^{\frac{1}{2}}}{\left(1+\frac{k}{4}\rho_{0}^{2}\right)^{\frac{1}{2}}\left(1+\frac{k}{4}\rho_{1}^{2}\right)^{\frac{1}{2}}}$$
(23)

両辺を2乗して、次のように変形できる.

$$4\sin^{2}\frac{1}{2}(\phi_{2}-\phi_{0}) = \frac{\rho_{0}}{\rho_{1}} \cdot \frac{1+\frac{k}{4}\rho_{1}^{2}}{1+\frac{k}{4}\rho_{0}^{2}} \times 4\sin^{2}\frac{1}{2}(\phi_{1}-\phi_{0})$$
$$-\left[\left(\frac{\rho_{0}}{\rho_{1}}\right)^{\frac{1}{2}}-\left(\frac{\rho_{1}}{\rho_{0}}\right)^{\frac{1}{2}}\right]^{2} \qquad (24)$$

ここで,

$$A = \frac{\rho_0}{\rho_1} \cdot \frac{1 + \frac{k}{4} \rho_1^2}{1 + \frac{k}{4} \rho_0^2}; \qquad B = \left[\left(\frac{\rho_0}{\rho_1} \right)^{\frac{1}{2}} - \left(\frac{\rho_1}{\rho_0} \right)^{\frac{1}{2}} \right]^2 \qquad (25)$$

これらは、各0についての定数である。また,

$$X=4 \sin^2 \frac{1}{2} (\phi_1 - \phi_0)$$
; $Y=4 \sin^2 \frac{1}{2} (\phi_2 - \phi_0)$ (26)

これらは, (Q_0,Q_1) をいろいろ変化して幾組みかの値として得られる.したがって,(23) は次のように表わすことができ,測定値 Y を X に対してプロットすれば直線が得られる筈である.

$$Y = AX - B \tag{27}$$

したがって, このプロットの最適直線の y 切片 B の値が得られ, 次の公式 によって定数 σ の近似値が求められる.

$$\sigma = \frac{\sqrt{B}}{\gamma_1 - \gamma_0} \tag{28}$$

 σ がきまれば、原理的には、直線の勾配 A の値と(25)の A の式を用いて、もう 1 つの定数 k が計算できる。 しかし、2 つの VM 円が相当離れていないと、 この計算に対してAの値は十分でない。 それ故、k を求めるには、次の 4 点法を用いる。

4.2.2. 4 点 実 験

この実験では、図 (14) のAに示すように、4 光点 Q_0,Q_1,Q_2,Q_3 が

$$B = \left(\left(e^{\sigma(\gamma_1 - \gamma_0)} \right)^{\frac{1}{2}} - \left(e^{\sigma(\gamma_0 - \gamma_1)} \right)^{\frac{1}{2}} \right)^2$$

$$\sqrt{B} = e^{\frac{\sigma(\gamma_1 - \gamma_0)}{2}} - e^{\frac{\sigma(\gamma_0 - \gamma_1)}{2}} = e^{\frac{\sigma(\gamma_1 - \gamma_0)}{2}} = e^{\frac{\sigma(\gamma_1 - \gamma_0)}{2}}$$

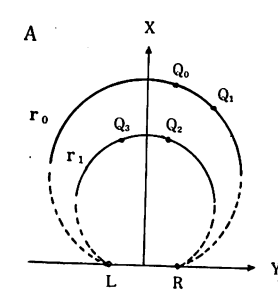
$$= 2 \sin h \frac{\sigma(\gamma_1 - \gamma_0)}{2} = \sigma(\gamma_1 - \gamma_0)$$

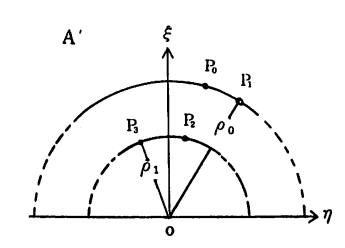
$$\therefore \sigma = \frac{\sqrt{B}}{\gamma_1 - \gamma_0}$$

^{* (20)} を (25) のBの式に代入すれば,

提示される. 初の1対は、視差 γ 。の VM 円上を動き、後の1対は、視差 γ 。の VM 円上を動き、後の1対は、視差 γ 。の VM 円上を動く、Oは、固定した3点 Q。Q,Q,Q に対して、

図〔14〕 4 点実験: A-物理的空間, A'-視空間





 Q_3 を調整して, $D(P_0,P_1)=D(P_2,P_3)$ なるようにする (図 (14)のA'). そうすれば,(1)によって次の関係が成立する.

$$\frac{\left\{2\rho_0^2\left(1-\cos(\phi_1-\phi_0)\right)\right\}^{\frac{1}{2}}}{1+\frac{k}{4}\rho_0^2} = \frac{\left\{2\rho_1^2\left(1-\cos(\phi_3-\phi_2)\right)\right\}^{\frac{1}{2}}}{1+\frac{k}{4}\rho_1^2}$$
(29)

これは,次のように変形できる.

$$2 \sin \frac{1}{2} (\phi_3 - \phi_2) = \frac{\rho_0}{\rho_1} \cdot \frac{1 + \frac{k}{4} \rho_1^2}{1 + \frac{k}{4} \rho_0^2} \times 2 \sin \frac{1}{2} (\phi_1 - \phi_0)$$
 (30)

ととで,

$$A = \frac{\rho_0}{\rho_1} \cdot \frac{1 + \frac{k}{4} \rho_1^2}{1 + \frac{k}{4} \rho_0^2}$$
 (31)

$$X=2 \sin \frac{1}{2} (\phi_1 - \phi_0); \quad Y=2 \sin \frac{1}{2} (\phi_3 - \phi_2)$$
 (32)

とすれば、(29)は次のような1次方程式となる.

$$Y = AX \tag{33}$$

それ故、種々のXに対して測定値Yをプロットすれば、原点を通る直線が

得られる筈である。この直線の勾配Aの値は、2つの VM 円が十分離れていれば、Kの値と共に著しく変化するので、3点法で σ が既知であれば、次の公式によってKが算出できる。

$$A = e^{\sigma(\gamma_1 - \gamma_0)} \cdot \frac{1 + ke^{-2\sigma\gamma_1}}{1 + ke^{-2\sigma\gamma_0}}$$
(34)

したがって,

$$k = \frac{2e^{2\sigma\gamma_0} \sinh(\sigma(\gamma_1 - \gamma_0))}{A - e^{-\sigma(\gamma_1 - \gamma_0)}} - e^{2\sigma\gamma_0}$$
(35)

Zajaczkowska (12) は、この方法によって、 σ k、の値を求め、これらの値が、並木法によって得られた値と相当よく一致することを確かめ、Luneburg の理論を支持している.

 大きさ、および形の恒常度と Luneburg の 定数 σ、 K との関係

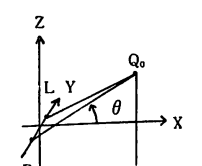
以上で Luneburg の視空間理論の概観を終えたので、 本節では、 この

* (31)に(20)を適用すれば、(34)が導かれる。(34)の分母を払えば、
$$A(1+ke^{-2\sigma\gamma_0}) = e^{\sigma(\gamma_1-\gamma_0)}(1+ke^{-2\sigma\gamma_1}), \quad A+kAe^{-2\sigma\gamma_0}$$
$$= e^{\sigma(\gamma_1-\gamma_0)}+ke^{-\sigma(\gamma_1+\gamma_0)}$$
$$ke^{+2\sigma\gamma_0}(A-e^{-\sigma(\gamma_1-\gamma_0)}) = e^{\sigma(\gamma_1-\gamma_0)}-A,$$
$$k = \frac{e^{\sigma(\gamma_1-\gamma_0)}-A}{e^{-2\sigma\gamma_0}(A-e^{-\sigma(\gamma_1-\gamma_0)})} = \frac{e^{2\sigma\gamma_0}e^{\sigma(\gamma_1-\gamma_0)}-e^{2\sigma\gamma_0}A}{A-e^{-\sigma(\gamma_1-\gamma_0)}}$$
$$= \frac{e^{2\sigma\gamma_0}(e^{\sigma(\gamma_1-\gamma_0)}-e^{-\sigma(\gamma_1-\gamma_0)})-e^{2\sigma\gamma_0}(A-e^{-\sigma(\gamma_1-\gamma_0)})}{A-e^{-\sigma(\gamma_1-\gamma_0)}}$$
$$= \frac{2e^{2\sigma\gamma_0}\sin h(\sigma(\gamma_1-\gamma_0))-e^{2\sigma\gamma_0}(A-e^{-(\gamma_1-\gamma_0)})}{A-e^{-\sigma(\gamma_1-\gamma_0)}}$$
$$\therefore k = \frac{2e^{2\sigma\gamma_0}\sin h(\sigma(\gamma_1-\gamma_0))}{A-e^{-\sigma(\gamma_1-\gamma_0)}} - e^{2\sigma\gamma_0}$$

報告の主要な目的であるこの視空間理論と恒常現象との関連について考察 しよう.

先ず Luneburg (9) 自身の恒常現象についての見解を述べておく. 図 [15] に示すように、正中面において x 軸に 対称である 2 点 Q_o (x,o,

[15] 正中面における線分



z), $Q_1(x,0,-z)$ を考える.その視的大きさDは,公式(1)によって次のように表わされる.

$$\frac{2}{(-k)^{\frac{1}{2}}} \sinh\left[\frac{1}{2} (-k)^{\frac{1}{2}} \frac{D}{C}\right] = \frac{(2\rho^{2} (1 - \cos 2\theta))^{\frac{1}{2}}}{1 + \frac{k}{4} \rho^{2}}$$

$$= \frac{2\rho \sin \theta}{1 + \frac{k}{4} \rho^{2}} \tag{36}$$

ととで、 $\sin \theta = \frac{z}{(x^2 + z^2)^{\frac{1}{2}}} = z \tan \frac{\gamma}{2}$, また $\rho = 2e^{-\sigma \gamma}$

であるから、(36) は次のように変形できる.

$$\frac{2}{(-k)^{\frac{1}{2}}} \sin h \left[\frac{1}{2} (-k)^{\frac{1}{2}} \cdot \frac{D}{C} \right] = z \frac{4 \tan \frac{\gamma}{2}}{e^{\sigma \gamma} + ke^{-\sigma \gamma}}$$
(37)

もしZを一定に保ち、2点の位置 x を、したがって γ を変化 すれば、D/C は γ の函数として表わされる。 Zの小さな値に対しては、D/C は 近似的に次のようになる。

$$\frac{D}{C} = z \frac{4 \tan \frac{\gamma}{2}}{e^{\sigma \gamma} + ke^{-\sigma \gamma}}$$
 (38)

それ故,視的の大きさDは,観察距離を無限に大きくし, $x\to\infty$ したがって $\gamma\to 0$ とすれば,k=-1 でない限り零に近づく.しかし,k=-1 の場合は,漸近的に有限の極限値に達する. そこで Luneburg は,大きさの恒常性は,Oの定数Kの値が,-1 に近づくほど長い間保たれると結論している.しかし氏は,恒常性と σ との関係については別に言及していない.

次に、前述の4点実験を手がかりとして、恒常現象の問題を考えよう、この実験では、O は Ss, (Q_0,Q_1) に対して Sc, (Q_2,Q_3) を調整して、視的距離が、 $D(P_0,P_1)=D(P_2,P_3)$ になるようにするのであるから、われわれが普通行なう大きさの恒常性の実験の1種と考えることができる、この場合、

$$2 \sin \frac{1}{2} (\phi_3 - \phi_2) = Y, \quad 2 \sin \frac{1}{2} ((\phi_1 - \phi_0) = X)$$

とおけば、前述のように、Luneburg の理論によると、YはXに正比例する、その比例定数(前節の式でのA)をCとすれば、

Y=CX なる関係が成立する. いま調整の結果が, $\phi_3-\phi_2=\phi_1-\phi_0$ であれば,恒常度は零で,C=1 となる. $\phi_3-\phi_2>\phi_1-\phi_0$ ならば,恒常度は正で,C>1 となる. また $\phi_3-\phi_2<\phi_1-\phi_0$ ならば,恒常度は負で,C<1 となる. したがって,Cを恒常度の指標として 取り扱うことができる.

- 方Cを, Luneburg の個人定数 σ, k で表わせば,

$$C = e^{\sigma(\gamma_1 - \gamma_0)} \cdot \frac{1 + k/e^{2\sigma\gamma_1}}{1 + k/e^{2\sigma\gamma_0}}$$
 (39)

となり、恒常度 Cは、明らかに σ 、k の函数 である。 ここで 興味ある問題は、個人定数 σ 、k の変化に伴って Cがどのように 変化するかである。 すなわち、個人定数は、恒常度とどのような関連をもつかと言うことである。

先ず、上式によって、これらの関係を考えてみよう。 Kを一定とすれば Cは σ によってどのように変化するであろうか. すなわち, Kを等しく する個人間では, σ の変動が Cにどのような効果を もたらすであろうか. これまでの僅かな研究(12,13)によれば $\sigma{>}0,\,k{<}0$ であることが知られて いる. この実験では、 $\gamma_1 > \gamma_0$ であるから、 σ が大なるほど、 $e^{\sigma(\gamma_1 - \gamma_0)}$ は大きく, $(1+k/e^{2\sigma\gamma_1})/(1+k/e^{2\sigma\gamma_0})$ も大きい. したがって, σ が大 きい個人ほど、 C の値が 大きい ことが 考え られる. 換言 すれば、 奥行 の知覚が 正確な 個人ほど、 恒常現象を 著しく 現わすと 予想 される. 次 に σ を一定とすれば, CはΚによってどのように 変化するで あろうか. すなわち、σ の値を大体等しくする個人については、Kの変動は、Cに どのような変化をもたらすであろうか. 前述のように、K<0 であるから Kの絶対値について考えることにする. この場合, 問題は $(1+k/e^{2\sigma\gamma_1})$ $/(1+k/e^{2\sigma \gamma_0})$ であるが,この比の値は,Kの絶対値が大きいほど(Kの 値が小さいほど) 大きくなる. したがって、Cの値についても、Kの絶対 値が大きいほど大きくなることが考えられる. すなわち, 視空間の幾何学 が、Euclid 幾何学から離れる個人ほど、恒常現象を著しく現すと予想さ れる.以上のことがらをまとめて考えれば、恒常度Cは、個人定数 σ が 大なるほど、 K の絶対値が大なるほど大きくなる. すなわち、 奥行知覚の 正確な個人ほど、またその視空間の幾何学的性質が、 Euclid 幾何学から 離れる個人ほど、 恒常現象をよく 現わすことになる. これが Luneburg の視空間理論から、恒常現象に関して下される結論である. 以上は、大き さの恒常現象について考察したが、実験を少しく工夫すれば、同様な結論 が、形の恒常現象についても下されるであろう。 すなわち、形の 恒常度 C'も、個人定数 σ 、k の函数であり、C' の値は、 σ の大なるほど、Kの絶対値が大なるほど大きいであろう.

これまでの報告 $(1\sim7)$ で、大きさの恒常度と、形の恒常度との相関 r_{SF} が有意であることを明らかにしたが、上記のように、この2つの恒常度 C、

C' がいずれも個人定数 σ ,k によって規定されることを考えれば説明されるのではなかろうか、すなわち、両恒常度が、 $C=S(\sigma,k)$ 、 $C'=F(\sigma,k)$ のように、 σ ,k の函数として記述されれば、C,C' の間に もある函数 関係が成立し、したがって Γ SF が有意に なることが考えられる.

さて上述の Luneburg の理論からの推論を検証する ためには、実験に訴えなければならない。すなわち、多くの Oについて、それぞれ定数 σ , k を前述の方法のいずれかによって測定し、一方従来の大きさや形の恒常現象の実験を行ない、恒常度を算出し、はたして両者の間に上述の関係が成立するかどうかを検討しなければならない。この測定を計画しているが、まだ報告する段階に至っていないので、次に Zajaczkowska (12) の実験結果によって考察しよう。

表 [1] は,氏が 3 点法,および 4 点法を用いて,個人定数 σ , k を測定した結果の一部を示す.この表で pd は,各観察者の瞳孔間の距離を示す.この表によれば,Kの等しい観察者の間では, σ が大きいほど,Cが大となる傾向が見られる.また σ の等しい観察者の間では,Kの絶対値が大きいほど,Cが大となる傾向が認められる.したがって, σ , κ の変動を同時に考慮すれば,観察者の σ の値が大きく,かつKの絶対値が大きいほど,Cの値は大きくなる傾向が見られるといえよう.すなわち,観察者の奥行知覚が正確なほど,またその視空間の幾何学が Euclid 幾何学から離れるほど,大きさや形の恒常度が大きくなる傾向があると考えられる.この考察を確かめるために,これらの定数 κ 0, κ 1 (絶対値) 間の相関を求めた結果が表[2]に示してある.この表で,左側の κ 3 個の相関, κ 1 (κ 3 の中,有意なのは, κ 4 に κ 5 のみであるが,右側の偏相関, κ 5 に κ 6 でよび重相関 κ 6 に κ 6 はいずれも有意である.したがって, κ 7 に κ 7 の有意であることから, κ 7 を一定としたとき, κ 8 とことすれば,Kの絶対値とCとの間では、 κ 8 の有意であることから, κ 8 を一定とすれば,Kの絶対値とCとの間

観察者	年 令	pd (cm)	С	σ	K
1 °	6,10	5.00	2.151	10.8	- 71
2	7,1	6.00	2,975	11.8	94
3 °	7,6	5.20	1,455	8.3	23
4	8,0	5.00	2.870	13.8	91
5	8,6	5.60	1.690	10.7	29
6 °	11,3	6.00	1,724	9.1	40
7	12,9	5.80	2.042	7.4	75
8	13,1	6.00	1.881	7.0	62
9 °	14,2	5.80	1.670	9.9	30
10	16,11	5.85	1.998	11.9	47
11	18,6	5.85	3,563	14.8	-1.06
12°	25	6.40	2.076	11.9	47
13°	26	6.30	1.745	7.8	48
·14°	29	6.70	2.295	11.7	60
15	30	5.88	2, 986	6.8	99
16°	32	6.48	1,967	10.7	45
17	37	6.40	2.118	8.7	68
18	38	6.65	2.939	8.5	97
19	38	6.25	2.222	7.5	79
20	39	6.30	1.910	0.0	-1.00 .

表〔1〕VM円の実験(3点,4点法)による σ ,k(°印は男子)

表〔2〕 c と σ , k との相関

$egin{array}{cccc} { m rc}\sigma & = & .39 \ { m rck} & = & .83 \ { m r}\sigma{ m k} & = &12 \ \end{array}$	$r_{c\sigma,k} = .88$ $r_{ck,\sigma} = .96$ $r_{c,\sigma k} = .97$

にも正の相関が成立することがわかる。また $Rc. \sigma k$ の有意であることから, σ と K (絶対値)との綜合値と C との間にも正の相関々係があることが知られる。このように相関係数の算出によって,上記の実験結果についての考察の妥当なことが確かめられた。

さて、以上用いた σ 、k の値は、3点および 4点法 によって 求めたも

ので、とくにKはC(前述のA)から算出されたから、このような高い相関が得られたのではないかとの疑問が起る. しかし、 σ 、k の値は、3 点、4 点法以外の方法によっても求められ、Zajaczkowska(13)の研究によれば、表〔3〕に示すように、異なる方法(並木実験)によって得られた σ 、k と、前述の方法(VM 円の実験)によって得られた値との間には

観察者	年 令	3点,4点実験		平行,距離並木	
		σ	К	σ	K
1 °	29	11.7	-0.60	20.2	-0.29
2 °	32	10.7	-0.45	11.3	-0.40
3	37	8.7	-0.68	10.6	-0.57
4	38	7.5	-0.79	9.0	-0.65
5	38	9.7	-0.98	14.9	-0.69
6°	47	16.9	-0.55	26.4	-0.29
7 °	53	5.4	-0.57	10.9	-0.28
8 °	59	8.6	-0.65	16.1	-0.26
9 °	72	3.3	-0.05	13.9	-0.08

表 [3] VM円の実験, 並木実験による σ.k の比較 (°印は男子)

相当高い一致性が認められる(両者の相関は、 σ _については 0.75, k については 0.84 である).したがって、ある方法によって、個人の σ , k を求め、この方法とは全く独立した方法によって恒常度 C を求めたとしても、上述のような C と σ , k の間に高い相関々係が認められることは予測に難くない.このような訳であるから,Luneburg の定数 σ , k の値を、各個入に ついて測定しておくことは、恒常現象間の関係を考えるにはもとより、知覚の諸問題を考察する上にも重要であろう.

6. 結 論

以上考察したところに次を要約する.

(1) 大きさの恒常度 Cは、Luneburg の定数 σ 、k の函数である. a) k

が一定ならば、Cは、 σ の大なるほど 大である。すなわち、 恒常現象は、奥行知覚の正確な観察者にいっそうよく現われる。b) σ が一定ならば、Cは、Kの絶対値が大きいほど(Kの 値が 小さい ほど) 大である。すなわち、恒常現象は、その視空間の幾何学が、Euclid の幾何学からずれる観察者についていっそうよく現われる。したがって、c) Cは、 σ の大なるほど、Kの絶対値が大なるほど、(Kの値が小さいほど)大きい。

- (2) 形の恒常度 C' も、Luneburg の定数の函数であり、C' と σ 、k と の間にも、(1)と同様の傾向が認められることが予想される。これまでの 報告(1~7)で、大きさや形についての超恒常、あるいは負恒常の異常現象が特定の観察者について認められる事実は、この予想をある程度裏付けるものと考えられる。
- (3) 大きさの恒常度 $C=S(\sigma,k)$ と,形の恒常度 $C'=F(\sigma,k)$ との間に 存意な相関 r_{SF} が成立することは, 両者が, 同一の定数の 函数である ことから理解されるであろう.

本研究は、昭和 32,33 年度文部省科学研究費による「知覚的恒常性の理論とその応用に関する総合的研究、代表者 秋重教授」の一部をなすものである。

文 献:

(1)	石 井 克 巳,	諸恒常現象間の相関に関する研究,哲学年報,1954,16.
(2)		同 上 (第2報告)哲学年報,1957,20.
(3)	,	恒常現象研究の方法論に就いて、日本心理学会第18回大
	,	会報告, 1954.
(4)		諸恒常現象間の相関に関する研究Ⅰ,日本心理学会第19
	, .	回大会報告, 1955.
(5)		同 上 II,日本心理学会第20
	,	回大会論文抄録,1956.
(6)		同 上 Ⅲ,日本心理学会第21
	,	回大会論文抄錄,1957.
(7)		同 上 IV,九州心理学会第20
	·	回大会紀要,1958.
(8)	Luneburg, R, K.,	Mathematical analysis of binocular vision.
	r* · · ·	1947.
(9)		The metric of binocular visual space.
		J. Opt. Soc. Amer., 1905, 40, 627.
(10)	Blank, A. A	The Luneburg theory of binocular visual space.
		J. Opt. Soc.Amer., 1953, 43, 717.
(11)	 ,	The Luneburg theory of binocular space
		perception. Psychology: A stndy of a seience,
		Vol, I, 1959.
(12)	Zajaczkowska A.,	Experimental determination of Luneburg's
		constant σ and k .
		Q. J. Exptl. Psychol., 1956, WI, 66.
(13)		Experimental test of Luneburg's theory.
		Horopter and alley experiments.
		J. Opt. Soc. Amer., 1956, 46, 514.